

# УСПЕХИ ФИЗИЧЕСКИХ НАУК

539.126.4

## НЕЙТРАЛЬНЫЕ К-МЕЗОНЫ

*И. И. Гуревич и Б. А. Никольский*

### 1. ДВА ТИПА НЕЙТРАЛЬНЫХ К-МЕЗОНОВ

Нейтральные  $K$ -мезоны не принадлежат к группе истинно нейтральных частиц:  $K^0$  и его античастица  $\bar{K}^0$  имеют странности  $S = +1$  и  $S = -1$  соответственно. Однако странность не является строго сохраняющейся величиной,  $K^0$  и  $\bar{K}^0$  могут испытывать распады  $K^0 \rightarrow 2\pi$ ,  $\bar{K}^0 \rightarrow 2\pi$ . Поэтому возможен переход  $K^0 \rightleftharpoons 2\pi \rightleftharpoons \bar{K}^0$  через виртуальные  $\pi$ -мезонные состояния. В этом заключается своеобразие нейтральных  $K$ -мезонов, которые занимают как бы промежуточное положение между истинно нейтральными частицами ( $\pi^0$ -мезон,  $\gamma$ -квант) и частицами, отличающимися от своих античастиц какими-либо строго сохраняющимися квантовыми числами (электрон и позитрон, нейтрон и антинейтрон). Различие  $K^0$ - и  $\bar{K}^0$ -мезонов по странности приводит к тому, что сохраняющие странность взаимодействия этих частиц с другими частицами различны. Так,  $\bar{K}^0$ -мезоны могут рождаться только в паре с  $K^0$ -мезонами, а  $K^0$ -мезоны могут быть рождены также в паре с  $\Lambda^0$ - и  $\Sigma$ -гиперонами; поэтому порог рождения  $K^0$  существенно ниже порога рождения  $\bar{K}^0$ -мезона. Взаимодействие  $K^0$ -мезонов умеренных энергий с нуклонами допускает лишь рассеяние, упругое или с перезарядкой; для  $\bar{K}^0$ -мезона возможна также реакция рождения  $\Lambda^0$ - или  $\Sigma$ -гиперона:



Можно сказать, что  $K^0$ -мезоны легче рождаются, а  $\bar{K}^0$ -мезоны лучше взаимодействуют. Рассмотрим взаимодействия, нарушающие странность. Экспериментально было обнаружено, что  $K^0$ -мезоны могут распадаться на два  $\pi$ -мезона:



Применим к начальным и конечным состояниям этих реакций операцию зарядового сопряжения  $C$ . При этом, очевидно,

$$\left. \begin{aligned} CK^0 &= \bar{K}^0, \\ C(2\pi^0) &= 2\pi^0, \\ C(\pi^+ + \pi^-) &= \pi^+ + \pi^- \end{aligned} \right\} \quad (3)$$

Таким образом, процессы (2) не являются зарядово-инвариантными. Оператор  $C$  переводит  $K^0$ -мезон в его античастицу  $\bar{K}^0$ , в то время как правые

части реакций (2) остаются при этом без изменения. Это противоречие и привело в 1955 г. Гелл-Манна и Пайса<sup>1</sup> к замечательному открытию. Они ввели в рассмотрение состояния, являющиеся суперпозицией  $K^0$  и  $\tilde{K}^0$ \*):

$$\left. \begin{aligned} K_1^0 &= \frac{1}{\sqrt{2}} (K^0 + \tilde{K}^0), \\ K_2^0 &= \frac{1}{\sqrt{2}} (K^0 - \tilde{K}^0). \end{aligned} \right\} \quad (4)$$

Состояния  $K_1^0$  и  $K_2^0$  не имеют определенной странности, но являются собственными значениями оператора зарядового сопряжения:

$$\left. \begin{aligned} CK_1^0 &= \frac{1}{\sqrt{2}} (\tilde{K}^0 + K^0) = K_1^0, \\ CK_2^0 &= \frac{1}{\sqrt{2}} (\tilde{K}^0 - K^0) = -K_2^0. \end{aligned} \right\} \quad (5)$$

Согласно Гелл-Манну и Пайсу распады (2) идут не из состояния  $K^0$  (или  $\tilde{K}^0$ ), а из состояния  $K_1^0$ , которое, как и состояние образующихся  $\pi$ -мезонов, обладает определенной (+1)  $C$ -четностью. Возможность наблюдения

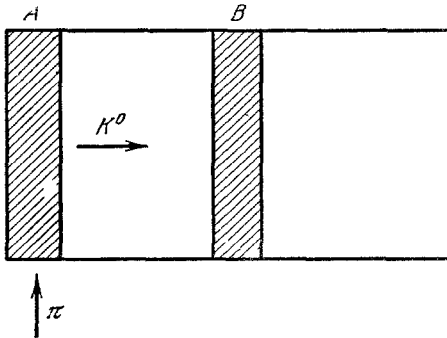


Рис. 1. Схема опыта Пайса—Пиччони.

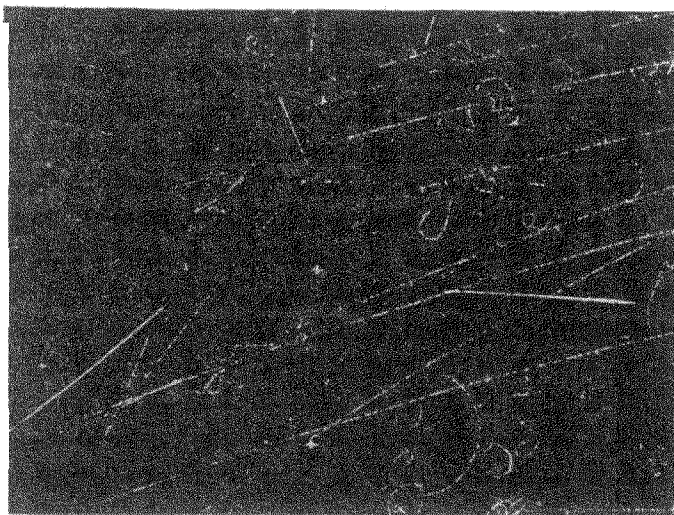
реакций (2) позволяет в ы д е л и т ь из состояния  $K^0$ , не имеющего определенного значения  $C$ , собственное состояние оператора  $C$  для  $K_1^0$  и изучить все его свойства. Аналогично, наблюдая реакции распада нейтрального  $K$ -мезона на зарядово-нечетные состояния (например, распад  $K^0 \rightarrow 3\pi^0$ ), можно изучать свойства  $K_2^0$ -состояния, которое имеет зарядовую четность  $C = -1$ . Таким образом,  $K_1^0$ - и  $K_2^0$ -состояния выступают как различные частицы; ниже будет видно, что они имеют различные значения времен жизни и разные массы. Итак, согласно Гелл-Манну и Пайсу при рождении нейтральные  $K$ -мезоны образуются в состояниях с определенной странностью, т. е. выступают как  $K^0$ - или  $\tilde{K}^0$ -мезоны; при распадах же мы наблюдаем состояния  $K_1^0$  и  $K_2^0$ . Открытие несохранения четности  $P$  и зарядового сопряжения  $C$  в слабых взаимодействиях не изменило выводов Гелл-Манна и Пайса. Вместо законов сохранения  $P$  и  $C$  по отдельности сохраняющейся величиной является теперь их произведение  $CP$ . Это преобразование называется комбинированной четностью и состоит в замене частиц на античастицы с одновременным зеркальным отражением пространственных координат. Все проведенные рассуждения остаются при этом в силе, так как оператор  $CP$  обладает теми же свойствами (3) и (5), что и оператор  $C$ .

Существование  $K_1^0$ - и  $K_2^0$ -мезонов приводит к весьма своеобразным явлениям, которые можно наблюдать в пучках нейтральных  $K$ -мезонов. Представим себе пучок  $K^0$ -мезонов, рожденных  $\pi$ -мезонами в мишени А (рис. 1). Эти  $K^0$ -мезоны могут быть представлены как суперпозиция состояний  $K_1^0$  и  $K_2^0$

$$K^0 = \frac{1}{\sqrt{2}} (K_1^0 + K_2^0)$$

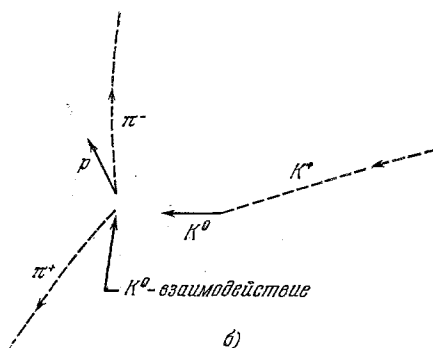
\*) Здесь и в дальнейшем мы обозначаем одной и той же буквой сами частицы и их волновые функции.

(это соотношение следует из равенств (4)). Так как время жизни  $K_2^0$ -мезона существенно больше времени жизни  $K_1^0$ -мезона (см. ниже), по мере удаления от мишени  $A$  состав пучка будет меняться. На достаточно большом расстоянии от мишени  $A$  пучок будет состоять практически только



а)

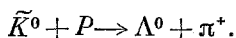
Рис. 2. а) Фотография процесса  $K^0 \rightarrow \bar{K}^0$ , наблюдаемого в пропановой пузырьковой камере.  $K^0$  образуется при перезарядке  $K^+$ -мезона на ядре углерода.  $\bar{K}^0$  обнаружен по реакции  $\bar{K}^0 + p \rightarrow \Lambda + \pi^+$  (из 9); б) схема процесса, представленного на рис. 2, а.



из  $K_2^0$ -мезонов. Но чистое  $K_2^0$ -состояние содержит в равных пропорциях как  $K^0$ -, так и  $\bar{K}^0$ -состояние:

$$K_2^0 = \frac{1}{\sqrt{2}} (K^0 - \bar{K}^0).$$

Другими словами, при достаточном удалении от точки рождения  $K^0$ -мезонов в пучке появится примесь  $\bar{K}^0$ -мезонов:  $K^0 \rightarrow \bar{K}^0$ . Наличие  $\bar{K}^0$ -мезонов может быть обнаружено, например, по характерной для  $\bar{K}^0$  реакции (1). Для наблюдения этой реакции в пучок ставится мишень  $B$ . Такой опыт был предложен в 1955 г. Пайсом и Пиччони <sup>2</sup>. На рис. 2 изображен процесс, наблюдаемый в пропановой пузырьковой камере, где наглядно видно превращение  $K^0 \rightarrow \bar{K}^0$ .  $K^0$  возник при перезарядке  $K^+$  на ядре углерода; на некотором расстоянии от точки рождения  $K^0$  наблюдается реакция, вызванная  $\bar{K}^0$ :



Аналогично, если пучок  $K_2^0$ -мезонов пропускать через вещество, то благодаря различию во взаимодействии с нуклонами составляющих его  $K^0$ - и  $\bar{K}^0$ -мезонов состав пучка будет меняться. При выходе из мишени в пучке можно будет обнаружить отсутствовавшие там ранее  $K_1^0$ -мезоны. Эти замечательные свойства взаимных превращений характерны только для нейтральных  $K$ -мезонов и обусловлены возможностью  $K^0 \rightarrow \bar{K}^0$ -переходов.

Может возникнуть вопрос, почему не рассматриваются суперпозиции, аналогичные  $K_1^0$  и  $K_2^0$  для других нейтральных частиц, например

$$n_1 = \frac{1}{\sqrt{2}} (n + \bar{n}) \quad \text{и} \quad n_2 = \frac{1}{\sqrt{2}} (n - \bar{n}),$$

где  $n$  и  $\bar{n}$  —  $\psi$ -функции нейтрона и антинейтрона; состояния  $n_1$  и  $n_2$ , в отличие от  $n$  и  $\bar{n}$ , не имеют определенного барионного заряда, но имеют аналогично  $K_1^0$  и  $K_2^0$  определенное значение комбинированной четности. Дело в том, что вводить такие состояния не имеет смысла, так как нет взаимодействий, которые приводили бы к распаду  $n_1$  или  $n_2$  на состояния с определенным значением  $CP$ , например на  $\pi$ -мезоны. В противном случае, как и для нейтральных  $K$ -мезонов, был бы возможен переход  $n \rightarrow \bar{n}$ , что абсолютно запрещено законом сохранения барионного заряда. Суперпозиции, аналогичные  $K_1^0$  и  $K_2^0$ , разумеется, не имеют смысла и для истинно нейтральных частиц, так как для них частица и античастица тождественны.

## 2. ВРЕМЯ ЖИЗНИ $K_1^0$ - И $K_2^0$ -МЕЗОНОВ

Различие времен жизни  $K_1^0$ - и  $K_2^0$ -мезонов обусловлено тем, что процессы распада, доступные для этих частиц, различны. Рассмотрим возможные  $\pi$ -мезонные распады нейтральных  $K$ -мезонов:

$$K \rightarrow \begin{cases} \pi^+ + \pi^-, \\ 2\pi^0, \\ 3\pi^0, \\ \pi^+ + \pi^- + \pi^0. \end{cases}$$

Комбинированная четность состояний  $(2\pi^0)$  и  $(\pi^+ + \pi^-)$  положительна (см. (3)). Состояние  $(3\pi^0)$  имеет отрицательную комбинированную четность. Действительно, из-за тождественности  $\pi^0$ -мезонов орбитальное состояние системы  $(3\pi^0)$  должно быть четным;  $CP$ -четность каждого  $\pi^0$ -мезона отрицательна:  $CP(\pi^0) = -\pi^0$ . Поэтому  $CP(3\pi^0) = -3\pi^0$ .  $CP$ -четность системы  $(\pi^+\pi^-\pi^0)$  равна  $(-1)^{l+1}$ , где  $l$  — орбитальный момент  $\pi^0$ -мезона относительно центра тяжести системы  $(\pi^+\pi^-)$ . Это видно из следующего.  $CP$ -четность  $\pi^0$ -мезона отрицательна.  $CP$ -четность системы  $(\pi^+\pi^-)$  всегда положительна, так как  $P_{\pi^+\pi^-} = (-1)^L$ ,  $C_{\pi^+\pi^-} = (-1)^L$  и  $CP_{\pi^+\pi^-} = (-1)^{2L} = 1$ . Здесь  $L$  — относительный орбитальный момент системы  $\pi^+\pi^-$  (рис. 3). Таким образом, комбинированная четность системы  $(\pi^+\pi^-\pi^0)$  полностью определяется значением  $l$ :  $CP_{\pi^+\pi^-\pi^0} = (-1)^{l+1}$ . Очевидно,  $l = L$ , так как спин  $K$ -мезона равен нулю. Выпишем теперь  $\pi$ -мезонные распады, разрешенные для  $K_1^0$  ( $CP = 1$ ) и  $K_2^0$  ( $CP = -1$ ):

$$K_1^0 \rightarrow \begin{cases} 2\pi^0, \\ \pi^+ + \pi^-, \\ \pi^+ + \pi^- + \pi^0, \end{cases} \quad l = L = 1, 3, \dots,$$

$$K_2^0 \rightarrow \begin{cases} 3\pi^0, \\ \pi^+ + \pi^- + \pi^0, \end{cases} \quad l = L = 0, 2, 4, \dots$$

Отсюда следует, что двухчастичный распад ( $2\pi^0$  или  $\pi^+ + \pi^-$ ) может происходить только из состояния  $K_1^0$ ;  $K_2^0$ -мезон может распадаться только на три  $\pi$ -мезона. Поэтому время жизни  $K_1^0$ -мезона по отношению к  $\pi$ -мезонному распаду должно быть существенно меньше, чем время жизни  $K_2^0$ -мезона, так как фазовый объем при трехчастичном распаде значительно меньше фазового объема двухчастичного распада. Времена жизни  $K_1^0$ - и  $K_2^0$ -мезонов по отношению ко всем возможным распадам  $\tau(K_1^0)$  и  $\tau(K_2^0)$  зависят также и от вероятностей лептонных распадов:

$$K^0 \rightarrow e^+ + \nu + \pi^-, \quad \bar{K}^0 \rightarrow \mu^+ + \nu + \pi^-,$$

$$\tilde{K}^0 \rightarrow e^- + \tilde{\nu} + \pi^+, \quad \tilde{\bar{K}}^0 \rightarrow \mu^- + \tilde{\nu} + \pi^+.$$

Эти распады характерны тем, что конечные состояния не обладают определенными значениями  $CP$  (например,  $CP(e^+ + \nu + \pi^-) = e^- + \tilde{\nu} + \pi^+$ ) и, следовательно, одинаково доступны для  $K_1^0$  и  $K_2^0$ . Однако наличие лептонных распадов не приводит к выравниванию времен жизни  $K_1^0$ - и  $K_2^0$ -мезонов, так как вероятность их относительно мала. Согласно измерениям Люерса и др.<sup>3</sup> отношение вероятности  $\Gamma_2(L^\pm)$  лептонных распадов  $K_2^0$  к вероятности  $\Gamma_2(+ - 0)$  распада  $K_2^0 \rightarrow \pi^+ + \pi^- + \pi^0$  равно

$$\frac{\Gamma_2(L^\pm)}{\Gamma_2(+ - 0)} = 6,5 \pm 1,0. \quad (6)$$

Экспериментально время жизни  $K_1^0$ -мезона определялось в пузырьковой камере по пролетному расстоянию (расстоянию от места рождения до места распада) нейтральных  $K$ -мезонов, распадающихся на два  $\pi$ -мезона. Суммарное по нескольким работам значение  $\tau_1$  оказалось равным<sup>4</sup>

$$\tau(K_1^0) = (1,00 \pm 0,04) \cdot 10^{-10} \text{ сек.}$$

Измерение времени жизни  $K_2^0$ -мезона можно производить, изучая трехчастичные распады нейтральных  $K$ -мезонов на достаточно большом расстоянии от места их рождения, чтобы успела полностью распасться компонента  $K_1^0$  \*). Именно таким образом были получены наиболее достоверные значения  $\tau_2$ . В работе Александера и др.<sup>5</sup> измерение  $\tau_2$  производилось в 180-сантиметровой водородной пузырьковой камере. Нейтральные  $K$ -мезоны получались в самой камере под действием  $\pi^-$ -мезонов:  $\pi^- + p \rightarrow \Lambda + K^0$  ( $P_{\pi^-} = 1,03 \text{ Бэв/с}$ ). В работе регистрировались только распады  $K$ -мезонов, которые сопровождалась видимым в камере ассоциированным распадом  $\Lambda \rightarrow p + \pi^-$ . Связанная с этим возможность детального кинематического анализа позволила надежно выделять случаи, относящиеся к распадам нейтральных  $K$ -мезонов, а также точно знать «возраст» распавшегося  $K$ -мезона. Для определения  $\tau_2$  отбирались случаи распадов  $K$ -мезонов со временем пролета  $3,4 \cdot 10^{-10} \leq t \leq 20,0 \cdot 10^{-10} \text{ сек}$  (в системе покоя  $K$ -мезона). Таким отбором были практически исключены случаи  $K_1^0$ -распадов. Найденное в этом опыте значение  $\tau_2$  оказалось равным

$$\tau(K_2^0) = \left( 7,5 \begin{matrix} +2,8 \\ -1,6 \end{matrix} \right) \cdot 10^{-8} \text{ сек.}$$

\*) Достигаемая при этом интенсивность  $K_2^0$ -пучка в последних опытах (Л. Б. Лейпунер и др., препринт 1963 г.) была равна  $(2,5 \pm 0,6) \cdot 10^{-3}$  частиц на  $1 \text{ см}^2$  на импульс.

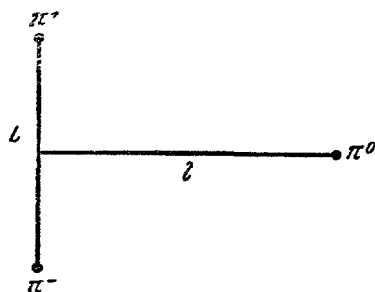


Рис. 3. Схема обозначений орбитальных моментов системы ( $\pi^+ \pi^- \pi^0$ ) (см. текст).

Это значение  $\tau_2$  находится в хорошем согласии с величиной

$$\tau(K_2^0) = \left( 8,1 \begin{matrix} +3,3 \\ -2,4 \end{matrix} \right) \cdot 10^{-8} \text{ сек},$$

полученной в работе <sup>6</sup> методом прямого измерения зависимости числа  $K_2^0$ -распадов от пролетного расстояния. Крауфордом и др. <sup>7</sup> было получено несколько меньшее значение

$$\tau(K_2^0) = \left( 3,6 \begin{matrix} +1,4 \\ -1,0 \end{matrix} \right) \cdot 10^{-8} \text{ сек}.$$

Следует, однако, сказать, что в этой работе для нахождения  $\tau$  использовалась маленькая (25 см) водородная пузырьковая камера;  $K^0$ -мезоны, как и в работе <sup>5</sup>, рождались в самой камере по реакции  $\pi^- + p \rightarrow \Lambda + K^0$ . Малые размеры пузырьковой камеры не позволяли, таким образом, пространственно разделить  $K_1^0$ - и  $K_2^0$ -распады. Поэтому при определении  $\tau_2$  по найденным случаям трехчастичного распада  $K$ -мезонов необходимо было дополнительно знать отношение вероятностей  $\Gamma(L^\pm)$  лептонных \*) распадов  $K_1^0$ - и  $K_2^0$ -мезонов  $\Gamma_1(L)/\Gamma_2(L)$ . Крауфордом и др. <sup>7</sup> было принято, что  $\Gamma_1(L)/\Gamma_2(L) = 1$ . Принятая ими величина  $\Gamma_1(L)/\Gamma_2(L) = 1$  не противоречила экспериментально найденному в этой работе значению

$$\frac{\Gamma_1(L)}{\Gamma_2(L)} = 3,5 \begin{matrix} +4 \\ -3 \end{matrix}$$

и, кроме того, следует из модели Сакаги универсального слабого взаимодействия. Однако в более поздних работах <sup>5,8</sup> имеются указания, что  $\Gamma_1/\Gamma_2 \sim 9$  (с ошибкой порядка самой величины). Эти последние результаты очень важны сами по себе, так как они противоречат модели Сакаги; более подробно эти проблемы будут рассмотрены в разделе 7; сейчас мы только отметим, что если принять в соответствии с экспериментальными данными <sup>5,8</sup> отношение  $\Gamma_1/\Gamma_2 = 9$ , то эксперимент Крауфорда и др. <sup>7</sup> приводит к значению  $\tau(K_2^0) = (8,2 \pm 3) \cdot 10^{-8} \text{ сек}$ . Значения  $\tau_2$ , полученные в работах <sup>5,6</sup>, не зависят от каких-либо допущений и могут отличаться от истинного значения  $\tau_2$  только из-за экспериментальных ошибок.

Если принять, как более достоверные, значения  $\tau(K_2^0)$ , определенные в работах <sup>5,6</sup>, то отношение времен жизни  $K_2^0$  и  $K_1^0$ -мезонов оказывается равным

$$\frac{\tau_2}{\tau_1} = \frac{7,8 \cdot 10^{-8}}{1,0 \cdot 10^{-10}} = 780.$$

### 3. РАЗНОСТЬ МАСС $K_1^0$ - И $K_2^0$ -МЕЗОНОВ

Возможность перехода  $K^0 \rightarrow \tilde{K}^0$  с необходимостью приводит к различию масс  $K_1^0$  и  $K_2^0$ . Действительно, изменение во времени состояний  $K^0$  и  $\tilde{K}^0$  может быть записано (в пренебрежении распадами этих частиц) как

$$-i \frac{\partial K^0}{\partial t} = mK^0 + \delta \tilde{K}^0,$$

$$-i \frac{\partial \tilde{K}^0}{\partial t} = m\tilde{K}^0 + \delta K^0,$$

где  $\delta$  — матричный элемент перехода  $K^0 \rightleftharpoons \tilde{K}^0$ . Используя выражения

\*) Величина  $\tau_2$  определяется в основном лептонными распадами  $K_2^0$ -мезонов. Учет нелептонных распадов  $K_2^0$  может быть с достаточной степенью точности произведен по данным (б) Льюиса <sup>3</sup>.

для  $K_1^0$ - и  $K_2^0$ -состояний через  $K^0$  и  $\tilde{K}^0$ , легко получить

$$-i \frac{\partial K_1^0}{\partial t} = (m + \delta) K_1^0, \quad -i \frac{\partial K_2^0}{\partial t} = (m - \delta) K_2^0,$$

т. е. разность масс  $K_1^0$ - и  $K_2^0$ -мезонов равна  $\Delta m = \frac{1}{2} 2\delta$ . Отсюда видно, что  $\Delta m = 0$  только при  $\delta = 0$ , т. е. когда переход  $K^0 \rightarrow \tilde{K}^0$  запрещен. Различие масс  $K_1^0$ - и  $K_2^0$ -мезонов может быть также понято, если вспомнить, что  $CP$ -четность этих частиц различная. Следовательно, будут различны и виртуальные состояния, в которых проводят часть времени  $K_1^0$ - и  $K_2^0$ -мезоны: для  $K_1^0$ -мезона доступны виртуальные состояния с четным числом  $\pi$ -мезонов, для  $K_2^0$ -мезона — недоступны (рис. 4).\*

Это должно привести к разности их масс. Однако вычислить величину разности масс  $\Delta m$  или даже определить ее знак оказывается невозможным, так как в настоящее время нет аппарата для расчета виртуальных взаимодействий сильновзаимодействующих частиц. Качественная оценка величины  $\Delta m$  (но не ее знака) может быть сделана из рассмотрения графиков рис. 4. Очевидно, каждое превращение  $K \rightarrow \pi$  пропорционально константе слабого взаимодействия  $G$ . Так как графики содержат две вершины, то  $\Delta m \sim AG^2$ . Из размерных соображений коэффициент  $A$  должен быть пропорционален  $A \sim \mu^5$ , где  $\mu$  имеет размерность массы. Принимая  $\mu = m_\pi$ , найдем  $\Delta m \sim 10^{-5}$  эв, при  $\mu = m_K$   $\Delta m \sim 10^{-2}$  эв. Обычно величину  $\Delta m$  выражают в единицах  $\hbar/c^2\tau_1 = 6 \cdot 10^{-6}$  эв, где  $\tau_1$  — время жизни  $K_1^0$ -мезона. Экспериментальное определение  $\Delta m$  (см. ниже) дало значение  $\Delta m \approx 10^{-5}$  эв =  $10^{-38}$  г. Определение столь малой величины разности масс представляет собой блестящий пример использования в макроскопическом опыте волновых свойств частиц\*).

Рассмотрим идею этого опыта. Пусть в начальный момент времени  $t = 0$  (вблизи мишени) имеется чистое  $K^0$ -состояние. Обозначим через  $K(t)$  состояние рассматриваемой системы — пучка нейтральных  $K$ -мезонов в произвольное время  $t$  (т. е. на различных расстояниях от места рождения). Тогда при  $t = 0$   $K(t)$  запишется так:  $K(0) = K^0 = \frac{1}{\sqrt{2}} (K_1^0 + K_2^0)$ . В момент времени  $t$  будем, очевидно, иметь

$$K(t) = \frac{1}{\sqrt{2}} (K_1^0 e^{iE_1 t - \frac{t}{2\tau_1 \gamma}} + K_2^0 e^{iE_2 t - \frac{t}{2\tau_2 \gamma}}).$$

Здесь  $E_1$  и  $E_2$  — энергии  $K_1^0$ - и  $K_2^0$ -мезонов соответственно,  $\tau_1$  и  $\tau_2$  — времена их жизни,  $\gamma$  — лоренц-фактор пучка нейтральных  $K$ -мезонов.

\*) Экспериментальное определение  $\Delta m \sim 10^{-5}$  эв свидетельствует об отсутствии взаимодействия с  $\Delta S = 2$ , так как при таком взаимодействии амплитуда перехода  $K \rightarrow \tilde{K}$  была бы пропорциональна  $G$ , а не  $G^2$  и величина разностей масс была бы равна  $\Delta m \sim 10^2$  эв.

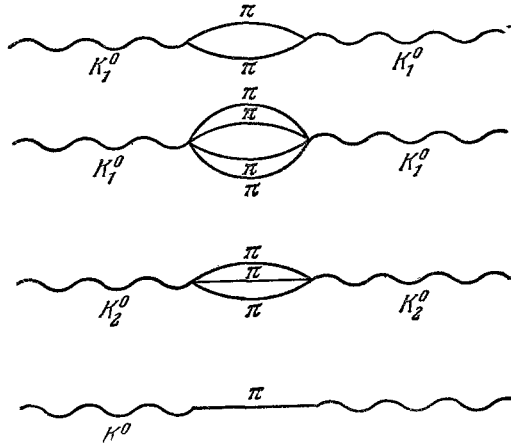


Рис. 4. Виртуальные состояния, возможные для  $K_1^0$ - и  $K_2^0$ -мезонов.

Используя выражения для  $K_1^0$  и  $K_2^0$

$$K_1^0 = \frac{1}{\sqrt{2}} (K^0 + \tilde{K}^0) \quad \text{и} \quad K_2^0 = \frac{1}{\sqrt{2}} (K^0 - \tilde{K}^0),$$

найдем

$$K(t) = \frac{1}{2} [K^0 (e^{iE_1 t - \frac{t}{2\tau_1 \gamma}} + e^{iE_2 t - \frac{t}{2\tau_2 \gamma}}) + \tilde{K}^0 (e^{iE_1 t - \frac{t}{2\tau_1 \gamma}} - e^{iE_2 t - \frac{t}{2\tau_2 \gamma}})].$$

Таким образом, вероятности наблюдения в пучке в момент времени  $t$  состояний  $K^0$  и  $\tilde{K}^0$  равны

$$\left. \begin{aligned} W(K^0) &= |e^{iE_1 t - \frac{t}{2\tau_1 \gamma}} + e^{iE_2 t - \frac{t}{2\tau_2 \gamma}}|^2 = \\ &= \frac{1}{4} [e^{-\frac{t}{\tau_1 \gamma}} + e^{-\frac{t}{\tau_2 \gamma}} + 2e^{-\frac{\tau_1 + \tau_2}{2\tau_1 \tau_2 \gamma} t} \cos(\delta t)], \\ W(\tilde{K}^0) &= |e^{iE_1 t - \frac{t}{2\tau_1 \gamma}} - e^{iE_2 t - \frac{t}{2\tau_2 \gamma}}|^2 = \\ &= \frac{1}{4} [e^{-\frac{t}{\tau_1 \gamma}} + e^{-\frac{t}{\tau_2 \gamma}} - 2e^{-\frac{\tau_1 + \tau_2}{2\tau_1 \tau_2 \gamma} t} \cos(\delta t)]. \end{aligned} \right\} \quad (7)$$

Здесь  $\delta = E_1 - E_2 \simeq m\Delta m/E$ . Зависимость (7) вероятностей  $W(K^0)$  и  $W(\tilde{K}^0)$  от времени представлена на рис. 5. На рис. 6 изображены зависимости от времени  $W(\tilde{K}^0)$ , получающиеся при различных значениях  $\Delta m$ . Из рис. 5 и 6 видно, что возможность  $K^0 \rightarrow \tilde{K}^0$ -переходов приводит к характерным осцилляциям интенсивностей  $W(K^0)$  и  $W(\tilde{K}^0)$

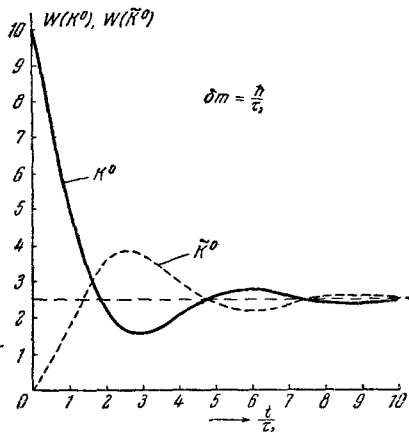


Рис. 5. Зависимость от времени интенсивностей  $W(K^0)$  и  $W(\tilde{K}^0)$  в пучке, представляющем собой при  $t = 0$  чистое  $K^0$ -состояние.

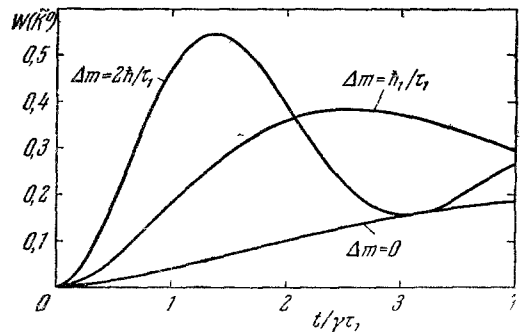
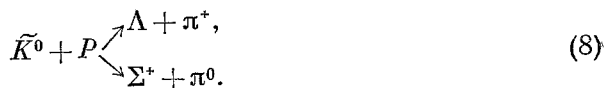


Рис. 6. Зависимость  $W_{\tilde{K}^0}(t)$  в пучке, первоначально состоявшем из  $K^0$ -мезонов, для различных значений  $\Delta m$ .

при прохождении в вакууме пучков нейтральных  $K$ -мезонов. Наблюдение этих осцилляций дает возможность определить разность масс  $\Delta m$  для  $K_1^0$ - и  $K_2^0$ -мезонов с очень высокой степенью точности. Как видно из рис. 6, одним из возможных способов определения  $\Delta m$  является измерение числа  $\tilde{K}^0$ -мезонов в пучке, первоначально состоявшем из  $K^0$ -мезонов, в зависимости от «возраста»  $K$ -мезонов. Идентифицировать  $\tilde{K}^0$ -мезоны можно по характерной для них реакции (1). Такой опыт был впервые осуществлен Камерини и др. <sup>9</sup> в 1960 г. Впоследствии <sup>10</sup> авторы, используя ту же методику, получили несколько более точное значение  $\Delta m$ . В опытах Камерини и др. <sup>9,10</sup>  $K^0$ -мезоны рождались в пропановой пузырьковой камере

в реакции перезарядки  $K^+$ -мезонов  $K^+ + n \rightarrow K^0 + p$ . Далее отбирались такие фотографии, где возникший в этой реакции нейтральный  $\tilde{K}$ -мезон вызывал взаимодействие в  $\tilde{K}^0$ -состоянии, т. е. рождал  $\Lambda$ - или  $\Sigma$ -гиперон:



Типичная фотография такого события приведена на рис. 2. По измерению времени пролета нейтральных  $K$ -мезонов от точки рождения (т. е. от места исчезновения  $K^+$ -мезона) до места рождения  $\tilde{K}^0$ -мезоном гиперона была

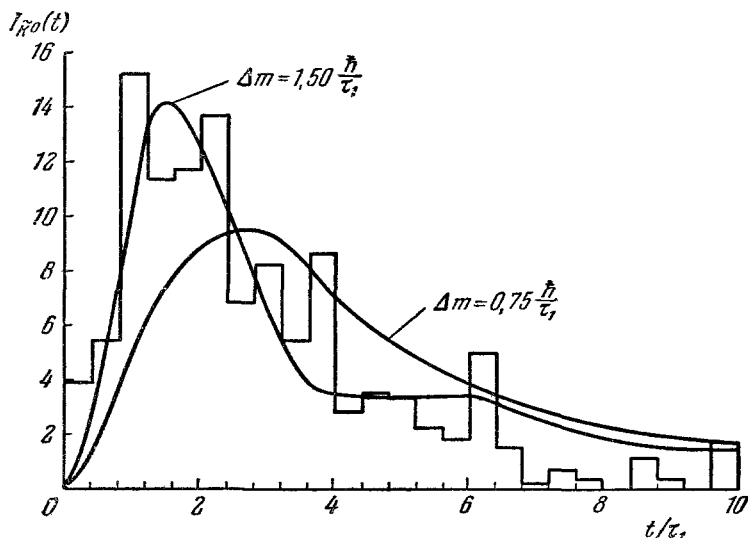


Рис. 7. Распределения  $I_{\tilde{K}^0}(t)$ , измеренные в опыте Камерини и др. 10.

Кривые представляют собой теоретические распределения  $I_{\tilde{K}^0}(t)$  для значений  $\Delta m = 1,5\hbar/\tau$  и  $\Delta m = 0,75\hbar/\tau$ .

построена функция распределения  $I_{\tilde{K}^0}(t)$ . Определяемое функцией  $I_{\tilde{K}^0}(t)$  число взаимодействий  $\tilde{K}^0$ -мезонов за время  $\Delta t$  выражается через  $W_{\tilde{K}^0}(t)$  следующим образом:

$$I_{\tilde{K}^0}(t) \Delta t = W_{\tilde{K}^0}(t) \sigma n \frac{p}{m} \Delta t, \quad (9)$$

где  $n$  — число ядер в единице объема,  $\sigma$  — сечение взаимодействия  $\tilde{K}^0$ -мезонов с этими ядрами,  $p$  — импульс  $K$ -мезонов.  $\Delta x = p/m\Delta t$  представляет собой длину пути, проходимого  $\tilde{K}^0$ -мезонами за время  $\Delta t$ ;  $\sigma n \Delta x$  есть вероятность для  $\tilde{K}^0$ -мезона испытать взаимодействие за время  $\Delta t$ . В работах 9,10 реакция (8) взаимодействия  $\tilde{K}^0$ -мезонов наблюдалась в пропановой ( $C_3H_8$ ) пузырьковой камере; соотношение (9) тогда записывается в виде

$$I_{\tilde{K}^0}(t) \Delta t = W_{\tilde{K}^0}(t) [3\sigma_C(p) + 8\sigma_H(p)] \frac{N_0 \rho}{A} \frac{p}{m} \Delta t. \quad (10)$$

Здесь  $\sigma_C(p)$  и  $\sigma_H(p)$  — сечения для реакций (8) на ядрах углерода и водорода,  $N_0$  — число Авогадро,  $\rho$  — плотность пропана,  $A$  — молекулярный

вес пропана. На рис. 7 приведено полученное в работе<sup>10</sup> экспериментальное распределение  $I_{\tilde{K}^0}(t)$ , а также соответствующие теоретические рас-

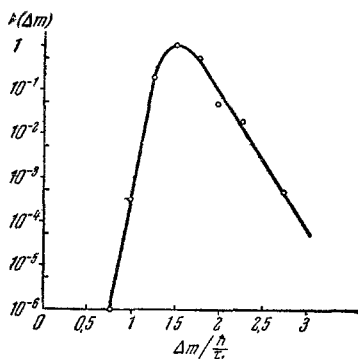


Рис. 8. Функция  $P(\Delta m)$  соответствия экспериментального распределения  $I_{\tilde{K}^0}(t)$  (см. рис. 7) и теоретических распределений (9) для различных значений  $\Delta m$  (по данным работы<sup>10</sup>).

$$\Delta m = (1,5 \pm 0,2) \frac{\hbar}{\tau_1} = (0,9 \pm 0,12) \cdot 10^{-5} \text{ эв.}$$

Аналогичный опыт был выполнен в 1961 г. Фитчем и др.<sup>11</sup> Их результат ( $\Delta m = (1,9 \pm 0,3) \hbar/\tau_1$ ) в пределах ошибок совпадает со значением  $\Delta m$ , полученным в работе<sup>10</sup>.

Другой способ определения величины  $\Delta m$ , также основанный на использовании волновых свойств пучков нейтральных  $K$ -мезонов, будет рассмотрен в следующем разделе.

#### 4. ГЕНЕРАЦИЯ $K_1^0$ -МЕЗОНОВ В ПУЧКЕ $K_2^0$

Из различия времен жизни  $K_1^0$ - и  $K_2^0$ -мезонов следует, что на достаточно большом расстоянии от места рождения нейтральных  $K$ -мезонов  $K_1^0$ -компонента полностью распадется и пучок будет состоять только из  $K_2^0$ -мезонов. Если, однако,  $K_2^0$ -мезоны пропускать через вещество, в пучке снова появится примесь  $K_1^0$ -мезонов. Действительно, чистое  $K_2^0$ -состояние содержит  $K^0$ - и  $\tilde{K}^0$ -компоненты в равных количествах:

$$K_2^0 = \frac{1}{\sqrt{2}} (K^0 + \tilde{K}^0).$$

При прохождении через вещество  $\tilde{K}^0$ -компонента из-за более сильного взаимодействия «выбывает» из пучка более интенсивно. Получающееся при этом изменение состава пучка эквивалентно появлению примеси  $K_1^0$ -мезонов. Возникшие таким образом  $K_1^0$ -мезоны летят в направлении, строго совпадающем с направлением первичного пучка  $K_2^0$ -мезонов. Взаимодействие  $K$ -мезонов с веществом приводит также к возникновению «других»  $K_1^0$ -мезонов, направление движения которых не совпадает с направлением первичного пучка. Эти  $K_1^0$ -мезоны представляют собой  $K_1^0$ -компоненты упруго рассеянных  $K^0$ - и  $\tilde{K}^0$ -мезонов, «составляющих» первичный  $K_2^0$ -пучок. Поскольку  $K^0$ - и  $\tilde{K}^0$ -мезоны рассеиваются ядрами (и нуклонами) с различными амплитудами, очевидно, что рассеянная волна должна содержать  $K_1^0$ -мезоны. Рассеяние  $K^0$ - и  $\tilde{K}^0$ -мезонов, приводящее к генерации  $K_1^0$  под углами  $\theta > 0^\circ$ , может происходить за счет двух процессов: дифракционного рассеяния на ядрах и упругого рассеяния на отдельных нуклонах. В дальнейшем эти процессы будут рассмотрены отдельно. Процесс образования  $K_1^0$ -мезонов в направлении пучка является когерентным в том смысле, что суммарный эффект от взаимодействий с отдель-

ными ядрами или нуклонами вещества описывается не сложением соответствующих интенсивностей, а сложением амплитуд. Поэтому амплитуда генерации  $K_1^0$ -мезонов в этом процессе оказывается пропорциональной числу  $N$  ядер в единице объема, а соответствующая вероятность пропорциональна  $N^2$ . Регенерация  $K_1^0$ -мезонов за счет дифракционного рассеяния  $K^0$  и  $\tilde{K}^0$  на ядрах и упругого рассеяния на отдельных нуклонах не является когерентным процессом. Интенсивность генерируемых таким образом  $K_1^0$ -мезонов будет пропорциональна первой степени  $N$ . Резкое отличие угловых распределений когерентного и некогерентного процессов регенерации  $K_1^0$ -мезонов позволяет надежно разделить их экспериментально. Ниже будет показано, как из сравнения вероятностей этих двух процессов можно определить величину разности масс  $\Delta m$  для  $K_1^0$ - и  $K_2^0$ -мезонов. Сейчас укажем только причину, которая несколько усложняет описание процесса генерации  $K_1^0$ -мезонов при прохождении  $K_2^0$ -мезонов через вещество по сравнению с описанием процесса генерации  $\tilde{K}^0$ -мезонов в пучке  $K^0$ , описанном в разделе 3. Отмеченное усложнение связано с тем, что процесс генерации  $\tilde{K}^0$  в пучке  $K^0$  происходит в вакууме за счет более быстрого распада  $K_1^0$  по сравнению с  $K_2^0$  и за счет разности масс  $K_1^0$  и  $K_2^0$ ; процесс же генерации  $K_1^0$  в пучке  $K_2^0$  происходит при прохождении пучка через вещество, что к реакциям с сохранением комбинированной четности (распад  $K_1^0$  и  $K_2^0$ ) добавляет еще реакции с сохранением странности (взаимодействие с веществом  $K^0$ - и  $\tilde{K}^0$ -мезонов).

Перейдем к подробному рассмотрению процессов когерентного и некогерентного образования  $K_1^0$ -мезонов при прохождении  $K_2^0$ -мезонов через вещество.

К о г е р е н т н а я г е н е р а ц и я  $K_1^0$ -мезонов связана с изменением состава пучка из-за распада  $K$ -мезонов и их взаимодействия с веществом. Рассмотрим вначале общий случай изменения состава пучка, первоначально состоявшего из произвольной суперпозиции  $\psi(K_1^0, K_2^0)$   $K_1^0$ - и  $K_2^0$ -состояний. Обозначим  $\psi(x)$  волновую функцию системы  $(K_1^0 K_2^0)$  в зависимости от расстояния  $x$ , которое пучок нейтральных  $K$ -мезонов прошел через вещество.  $\psi(x)$  может быть представлена как суперпозиция  $K^0$ - и  $\tilde{K}^0$ - или  $K_1^0$ - и  $K_2^0$ -состояний:

$$\left. \begin{aligned} \psi(x) &= a(x) K^0 + \bar{a}(x) \tilde{K}^0, \\ \psi(x) &= a_1(x) K_1^0 + a_2(x) K_2^0; \end{aligned} \right\} \quad (11)$$

из (4) следует

$$\left. \begin{aligned} a_1(x) &= \frac{1}{\sqrt{2}} [a(x) + \bar{a}(x)], \\ a_2(x) &= \frac{1}{\sqrt{2}} [a(x) - \bar{a}(x)]. \end{aligned} \right\} \quad (12)$$

Найдем дифференциальные уравнения, которые описывают изменение амплитуд  $a_1$  и  $a_2$  для различных значений  $x$ . При отсутствии взаимодействий с веществом состав пучка будет меняться только за счет распада  $K_1^0$ - и  $K_2^0$ -мезонов. Соответствующие этому выражения для изменения со временем амплитуд  $a_1$  и  $a_2$  запишутся так:

$$\frac{da_1}{dt} = -i \left( E_1 - \frac{i}{2\gamma\tau_1} \right) a_1$$

или

$$\frac{da_1}{dx} = -\frac{i}{v} \left( E_1 - \frac{i}{2\gamma\tau_1} \right) a_1, \quad (13)$$

так как  $dx = v dt$ . Аналогично

$$\frac{da_2}{dx} = -\frac{i}{v} \left( E_2 - \frac{i}{2\gamma\tau_2} \right) a_2.$$

Здесь  $v$  и  $E$  — скорость и энергия  $K$ -мезонов,  $\gamma\tau$  — время жизни  $K$ -мезона в лабораторной системе координат.

Рассмотрим изменение «вдоль пучка» амплитуд  $a_1$  и  $a_2$  из-за взаимодействия  $K$ -мезонов с веществом. Так как реакции взаимодействия  $K$ -мезонов (рассеяние и поглощение) происходят с сохранением странности, собственными функциями этих процессов до взаимодействия будут  $K^0$ - и  $\bar{K}^0$ -состояния. Изменение соответствующих этим состояниям амплитуд  $a$  и  $\bar{a}$  (см. (11)) может быть описано известным образом<sup>14</sup> комплексными показателями преломления, выражающимися через амплитуду рассеяния вперед:

$$n = 1 + \frac{2\pi N f(0)}{k^2}$$

для  $K^0$ -мезонов и

$$\bar{n} = 1 + \frac{2\pi N \bar{f}(0)}{k^2}$$

для  $\bar{K}^0$ -мезонов. Здесь  $f(0)$  и  $\bar{f}(0)$  — значения амплитуд рассеяния  $K^0$ - и  $\bar{K}^0$ -мезонов на угол  $\theta = 0$ ,  $N$  — число ядер в единице объема,  $k$  — импульс  $K$ -мезона. Изменение амплитуд  $a(x)$  и  $\bar{a}(x)$  при этом запишется так:

$$\frac{da}{dx} = ikna, \quad \frac{d\bar{a}}{dx} = ik\bar{n}\bar{a}.$$

Соответствующее изменение амплитуд  $a_1$  и  $a_2$  может быть получено с помощью соотношений (12):

$$\left. \begin{aligned} \frac{da_1}{dx} &= \frac{i}{2} (n + \bar{n}) ka_1 + \frac{i}{2} (n - \bar{n}) ka_2, \\ \frac{da_2}{dx} &= -\frac{i}{2} (n - \bar{n}) ka_1 + \frac{i}{2} (n + \bar{n}) ka_2. \end{aligned} \right\} \quad (14)$$

Суммируя выражения (13) и (14) для  $da_1/dx$  и  $da_2/dx$ , получим

$$\left. \begin{aligned} \frac{da_1}{dx} &= ia_1 \left[ \frac{1}{2} (n + \bar{n}) k - \frac{1}{v} \left( E_1 - \frac{i}{2\gamma\tau_1} \right) \right] + \frac{i}{2} k (n - \bar{n}) a_2, \\ \frac{da_2}{dx} &= -\frac{i}{2} k (n - \bar{n}) a_1 + ia_2 \left[ \frac{1}{2} (n + \bar{n}) k - \frac{1}{v} \left( E_2 - \frac{i}{2\gamma\tau_2} \right) \right]. \end{aligned} \right\} \quad (15)$$

Эти уравнения описывают изменения функции  $\psi(x)$  вдоль пучка, т. е. благодаря когерентным процессам. Уравнения (15) могут быть решены для любых начальных условий, т. е. для любых значений  $a_1$  и  $a_2$  при  $x = 0$ . Получающиеся при этом решения  $a_1(x)$  и  $a_2(x)$  определяют состав пучка нейтральных  $K$ -мезонов, летящих в первоначальном направлении после прохождения в веществе расстояния  $x$ .

Рассмотрим теперь интересующий нас случай, когда первичный пучок представлял собой чистое  $K_2^0$ -состояние ( $a_1(0) = 0$ ,  $a_2(0) = 1$ ). Нас будет интересовать амплитуда  $a_1(x=L)$ , определяющая число когерентно генерированных  $K_1^0$ -мезонов после прохождения пучка через пластину толщиной  $x = L$ . Решение уравнений (15) может быть существенно упрощено для случая достаточно тонкой пластины, когда длина свободного пробега  $K$ -мезонов до взаимодействия существенно больше  $L$ . Вероятность генерации  $K_1^0$ -мезонов в этих условиях будет относительно мала, вместе с тем можно будет практически не учитывать взаимодействия с веществом

рожденных  $K_1^0$ -мезонов. Следует отметить, что случай «толстой» пластины практически не осуществим из-за малого времени жизни  $K_1^0$ -мезонов. Это видно из следующих цифр: длина пробега  $\bar{K}_1^0$ -мезона по отношению к распаду равна примерно 3 см, в то время как свободный пробег до взаимодействия составляет  $\sim 40$  см (для углерода). Поэтому  $K_1^0$ -мезоны будут скорее распадаться, чем взаимодействовать. Отсюда следует, что член  $i/2 k(n-\bar{n})a_1$  в выражении (15) для  $da_2/dx$  может быть опущен. При решении уравнений (15) можно также положить  $\tau_2 = \infty$  (см. § 2). Амплитуда  $a_1(x)$ , удовлетворяющая уравнениям (15), в этом приближении имеет вид

$$a_1(x) = \frac{vk(n-\bar{n})}{2\delta - \frac{i}{\gamma\tau_1}} e^{i\left(\frac{n+\bar{n}}{2}k - \frac{E}{v}\right)x} \left[1 - e^{-\left(\frac{i\delta}{v} + \frac{1}{2\gamma v\tau_1}\right)x}\right]. \quad (16)$$

Здесь  $\delta = E_1 - E_2 \approx m\Delta m/E$ . Число когерентно генерированных  $K_1^0$ -мезонов в пучке после прохождения пластины толщиной  $L$  определяется выражением

$$I(K_1^0) = |a_1(L)|^2 = \frac{\gamma^2 \tau_1^2 v^2 k^2 (n-\bar{n})^2}{4(\delta\gamma\tau_1)^2 + 1} \left| e^{\frac{i\delta L}{v}} - e^{-\frac{L}{2\gamma v\tau_1}} \right|^2. \quad (17)$$

Введем безразмерные величины

$$l = \frac{L}{v\gamma\tau_1} = \frac{L}{\Lambda}, \quad \Delta = (m_1 - m_2)\tau_1 = \frac{E\delta}{m}\tau_1. \quad (18)$$

В этих переменных интенсивность  $I(K_1^0)$  может быть записана как

$$I(K_1^0) = \frac{\left(\frac{2\pi}{k}\right)^2 N^2 \Lambda^2 |f(0) - \bar{f}(0)|^2}{1 + 4\Delta^2} \left| e^{i\Delta l} - e^{-\frac{l}{2}} \right|^2. \quad (19)$$

Из соотношения (19) видно, что интенсивность  $I(K_1^0)$  пропорциональна  $N^2$ , т. е. квадрату ядерной плотности вещества, как это и должно быть для когерентного процесса. Соотношение (19) описывает интенсивность когерентно генерированных  $K_1^0$ -мезонов при прохождении пучка  $K_2^0$ -мезонов через вещество и, таким образом, полностью решает поставленную задачу. Перейдем теперь к рассмотрению некогерентной генерации  $K_1^0$ -мезонов.

Некогерентная генерация  $K_1^0$ -мезонов происходит за счет двух процессов: дифракционного рассеяния  $K^0$  и  $\bar{K}^0$  на ядрах и упругого рассеяния на отдельных нуклонах. Получающиеся при этом  $K_1^0$ -мезоны летят в направлении рассеянных  $K^0$ - и  $\bar{K}^0$ -волн и могут быть, таким образом, экспериментально отделены от когерентно генерированных  $K_1^0$ -мезонов, направление движения которых совпадает с направлением первичного пучка. На рис. 9 представлено угловое распределение  $F(\cos\theta)$   $K_1^0$ -мезонов, генерированных  $K_2^0$ -мезонами при прохождении через железную пластинку<sup>13</sup>. В распределении  $F(\cos\theta)$  отчетливо виден пик при углах  $\theta = 0^\circ$ , образованный когерентно генерированными  $K_1^0$ -мезонами. При нескольких больших углах  $F(\cos\theta)$  представляет собой в основном  $K_1^0$ -мезоны, возникшие за счет процесса дифракционного рассеяния  $K^0$  и  $\bar{K}^0$  на ядрах. Наконец, при углах  $\theta > 10^\circ$  вклад в  $F(\cos\theta)$  дают главным образом  $K_1^0$ -мезоны, возникшие в процессе упругого рассеяния  $K^0$ - и  $\bar{K}^0$ -волн на отдельных нуклонах. Рассмотрим процесс дифракционной генерации  $K_1^0$ -мезонов под малыми углами. Сечения дифракционного рассеяния  $K^0$ - и  $\bar{K}^0$ -мезонов на ядрах описываются амплитудами  $f(0)$  и  $\bar{f}(0)$  соответственно. Так как первичный пучок представлял собой  $K_2^0$ -состояние:

$$K_2^0 = \frac{1}{\sqrt{2}} (K^0 - \bar{K}^0),$$

очевидно, дифракционно рассеянная волна может быть представлена в виде

$$K_{\text{дифф}} = \frac{1}{\sqrt{2}} \left\{ f(0) \frac{1}{\sqrt{2}} (K_1^0 + K_2^0) - \bar{f}(0) \frac{1}{\sqrt{2}} (K_1^0 - K_2^0) \right\} = \\ = \frac{1}{2} \{ [f(0) - \bar{f}(0)] K_1^0 + [f(0) + \bar{f}(0)] K_2^0 \}.$$

Таким образом, амплитуда дифракционно генерированных  $K_1^0$ -мезонов равна

$$f_{21} = \frac{1}{2} [f(0) - \bar{f}(0)].$$

Амплитуда  $f_{21}$  определяет число  $K_1^0$ -мезонов, рожденных в слое  $dx$  и прошедших слой  $L - x$  в направлении падающего пучка:

$$d \left( \frac{dI_{\text{дифф}}(K_1^0)}{d\Omega} \right) = |f_{21}|^2 N e^{-\frac{L-x}{v\tau_{K_1}}} dx. \quad (20)$$

Здесь  $N$  — ядерная плотность вещества,  $\Omega$  — телесный угол. Интегрируя выражение (20) по  $x$  и используя обозначения (18), получим

$$\frac{dI_{\text{дифф}}(K_1^0)}{d\Omega} = |f_{21}|^2 N \Lambda (1 - e^{-1}). \quad (21)$$

Некогерентная генерация  $K_1^0$ -мезонов за счет упругого рассеяния  $K^0$  и  $\bar{K}^0$  на отдельных нуклонах имеет относительно широкое угловое

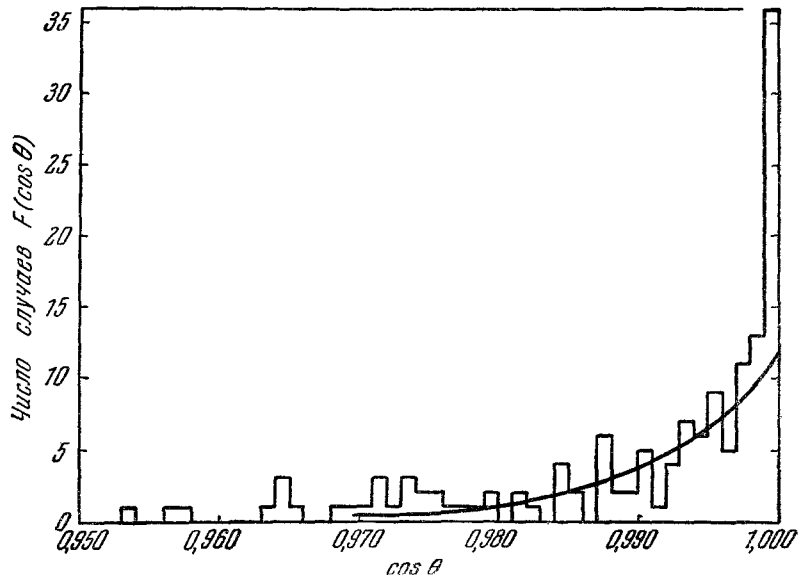


Рис. 9. Угловое распределение  $K_1^0$ -мезонов, генерированных в пучке  $K_2^0$ -мезонов при прохождении через железную пластину, в опыте Гуда и др. 13.

Приведенные данные представляют собой суммарное распределение  $F(\cos \theta)$  для пластин толщиной 3,6 и 14,5 см. Плавная кривая отвечает распределению  $F_{\text{дифф}}(\cos \theta)$  дифракционно генерированных  $K_1^0$ -мезонов, нормированному по экспериментальным данным.

распределение и не вносит заметного вклада в число  $K_1^0$ -мезонов, летящих под малыми углами ( $\theta \approx 0^\circ$ ) к пучку.

Изучение когерентной генерации  $K_1^0$ -мезонов в пучке  $K_2^0$  может быть использовано для определения разности масс  $K_1^0$ - и  $K_2^0$ -мезонов. Это непо-

средственно следует из соотношения (19). Из (19) вместе с тем видно, что интенсивность когерентно генерируемых  $K_1^0$ -мезонов зависит также от амплитуд  $f(0)$  и  $\bar{f}(0)$ , которые в настоящее время известны недостаточно хорошо. Неизвестные нам амплитуды  $f$  и  $\bar{f}$  могут быть исключены, если взять отношение интенсивностей когерентного и некогерентного процессов рождения  $K_1^0$ -мезонов под малыми ( $\theta \approx 0^\circ$ ) углами к первичному пучку. Из формул (19) и (21) следует, что это отношение равно

$$R = \frac{4N\Lambda \left(\frac{2\pi}{k}\right)^2}{(1+4\Delta^2)(1-e^{-l})} |e^{i\Delta l} - e^{-\frac{l}{2}}|^2. \quad (22)$$

При толщине пластины  $L$ , много большей жизненного пути  $K_1^0$ -мезона  $\Lambda = v\gamma\tau$ ,  $l = L/\Lambda \rightarrow \infty$  формула (22) приобретает особенно простой и наглядный вид:

$$R(l \rightarrow \infty) = \frac{16\pi^2 N\Lambda \lambda^2}{1+4\Delta^2}. \quad (22a)$$

Такой способ определения  $\Delta m$  был предложен в 1958 г. М. Гудом<sup>12</sup>. Соответствующий опыт был выполнен в 1961 г. Р. Гудом и др.<sup>13</sup>. В этом опыте хорошо коллимированный пучок  $K_2^0$ -мезонов проходил через пузырьковую камеру, внутри которой на пути  $K_2^0$ -мезонов помещалась железная (или свинцовая) пластина (рис. 10). Угловое распределение  $F(\cos \theta)$  генерированных в этой пластине и зарегистрированных по  $2\pi$ -мезонным распадам  $K_1^0$ -мезонов представлено на рис. 10. В распределении  $F(\cos \theta)$  отчетливо виден пик при углах  $\theta = 0^\circ$ , образованный когерентно генерированными  $K_1^0$ -мезонами. При несколько больших углах  $F(\cos \theta)$  представляет собой в основном  $K_1^0$ -мезоны, возникшие за счет процесса дифракционного рассеяния  $K^0$  и  $\bar{K}^0$  на ядрах. Наконец, при углах  $\theta > 10^\circ$  вклад в  $F(\cos \theta)$  дают главным образом  $K_1^0$ -мезоны, возникшие в процессе упругого рассеяния  $K^0$ - и  $\bar{K}^0$ -волн на отдельных нуклонах. Из рис. 10 видно, что отношение  $R$  для когерентно и дифракционно генерированных  $K_1^0$ -мезонов может быть определено достаточно надежно. Приравнивая найденное таким образом отношение  $R_{\text{эксп}}$  его теоретическому

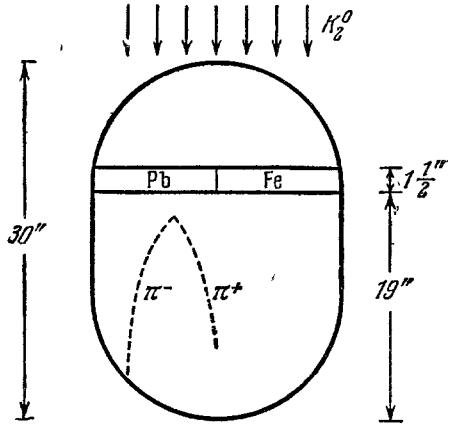


Рис. 10. Схематическое изображение пропановой пузырьковой камеры в опыте Гуда и др.<sup>13</sup>.

Таблица I

Значения разности масс  $\Delta m$  для  $K_1^0$ - и  $K_2^0$ - мезонов по данным различных работ

Метод	$\Delta m$ в единицах $\hbar/\tau = 6 \cdot 10^{-6}$ эв	Литература
Распределение $W_{\bar{K}^0}(t)$ (см. соотношение (7)) . . . . .	$1,9 \pm 0,3$	11
	$1,5 \pm 0,2$	10
Когерентная генерация $K_1^0$ в пучке $K_2^0$ . . . . .	$0,84 \begin{matrix} +0,29 \\ -0,22 \end{matrix}$	13

значению (22), авторы могли определить величину

$$\Delta m = \left( 0,84 \begin{matrix} +0,29 \\ -0,22 \end{matrix} \right) \frac{\hbar}{\tau_1}.$$

Полученные в этом и других опытах значения  $\Delta m$  приведены в табл. I.

### 5. ЧТО ТЯЖЕЛЕЕ: $K_1^0$ ИЛИ $K_2^0$ ?

Современная теория слабых взаимодействий не дает ответа на вопрос, что тяжелее:  $K_1^0$ - или  $K_2^0$ -мезон? В рассмотренных выше опытах по определению разности масс  $K_1^0$  и  $K_2^0$  можно было определить только абсолютную величину  $\Delta m$ . Для определения знака  $\Delta m$  были предложены другие эксперименты, также основанные на использовании волновых свойств пучков нейтральных  $K$ -мезонов. Однако соответствующих экспериментальных результатов пока еще нет. Один из вариантов такого опыта<sup>15</sup> состоит в следующем. Пучок  $K_2^0$ -мезонов пропускается через две тонкие пластинки  $A$  и  $B$ , состоящие из разных веществ и отстоящие друг от друга на расстоянии  $x = vt$ , где  $v$  — скорость  $K_2^0$ -мезонов. В результате прохождения через пластинку  $A$  в пучке появится примесь когерентно рожденных и летящих в том же направлении  $K_1^0$ -мезонов:

$$K_2^0 \rightarrow a_2 K_2^0 + a_1 K_1^0. \quad (23)$$

Зависимость амплитуд  $a_1$  и  $a_2$  от толщины пластинки описывается уравнениями (15). Для случая тонких пластинок, когда возникающая при прохождении через пластинку примесь  $K_1^0$ -мезонов невелика, соотношение (23) может быть приближенно записано в виде

$$K_2^0 \rightarrow K_2^0 + a_1 K_1^0 \quad (a_1 \ll 1). \quad (24)$$

Выражение для амплитуды  $a_1$  было получено ранее (см. (16)). Из (16) следует, что для тонких пластинок ( $kL \ll 1$ ,  $L$  — толщина пластинки) амплитуда  $a_1(L)$   $K_1^0$ -мезонов, когерентно рожденных в пластинке  $A$ , равна

$$a_1(L) \approx \frac{vkL(n_A - \bar{n}_A)}{2} \equiv \alpha_A e^{i\varphi_A}.$$

Здесь  $\alpha_A$  и  $\varphi_A$  — действительные числа, характеризующие свойства пластинки  $A$  (напомним, что показатели преломления  $n$  и  $\bar{n}$  являются комплексными числами). В месте, где находится пластинка  $B$ , амплитуда рожденных в пластинке  $A$   $K_1^0$ -мезонов запишется как

$$\alpha_A e^{i\varphi_A} e^{im_1 t - \frac{t}{2\tau_1}}, \quad (25)$$

где  $t$  — время пролета  $K$ -мезонами расстояния  $x = vt$  между пластинками  $A$  и  $B$ . В пластинке  $B$   $K_2^0$ -мезоны пучка \*) генерируют новую «порцию» когерентных  $K_1^0$ -мезонов с амплитудой

$$\alpha_B e^{i\varphi_B} e^{im_2 t - \frac{t}{2\tau_2}}. \quad (26)$$

Таким образом, амплитуда  $a_1$  состояния  $K_1^0$  за пластинкой  $B$  будет равна сумме амплитуд (25) и (26):

$$a_1 = \alpha_A e^{i\varphi_A} e^{im_1 t - \frac{t}{2\tau_1}} + \alpha_B e^{i\varphi_B} e^{im_2 t - \frac{t}{2\tau_2}}.$$

\*) Из-за малой толщины  $L$  состав пучка мало меняется при прохождении через пластинки  $A$  и  $B$  и состоит в основном из  $K_2^0$ -мезонов.

Интенсивность  $I(K_1^0)$   $K_1^0$ -мезонов за второй пластинкой определяется квадратом модуля амплитуды  $a_1$ :

$$I(K_1^0) = |a_1|^2 = \alpha_A^2 e^{-\frac{t}{\tau_1}} + \alpha_B^2 e^{-\frac{t}{\tau_2}} + 2\alpha_A \alpha_B e^{-\frac{t}{2\tau_1} - \frac{t}{2\tau_2}} \cos(\Delta\varphi + \Delta m \cdot t). \quad (27)$$

Здесь  $\Delta\varphi = \varphi_A - \varphi_B$ ,  $\Delta m = m_1 - m_2$ . Наблюдая осцилляции  $I(K_1^0)$ , описываемые членом  $\sim \cos(\Delta\varphi + \Delta m \cdot t)$  в выражении (27), как функцию расстояния между пластинками  $x = vt$ , можно в принципе найти знак  $\Delta m$ . Для этого, однако, надо знать величину  $\Delta\varphi = \varphi_A - \varphi_B$ . Фазы  $\varphi_A$  и  $\varphi_B$  должны быть определены независимо, например из опытов по рассеянию  $K^0$ - и  $\bar{K}^0$ -мезонов на ядрах, составляющих пластинки А и Б.

Другой способ определения знака разности масс  $\Delta m$  был предложен У. Камерини и др.<sup>16</sup> Рис. 11 иллюстрирует идею этого опыта. Пучок нейтральных К-мезонов, первоначально представляющий собой чистое  $K^0$ -состояние, испытывает спустя время  $t'$  рассеяние на ядре (или нуклоне). Среди рассеянных нейтральных К-мезонов отбираются случаи распада на два  $\pi$ -мезона, т. е. выделяется  $K_1^0$ -компонента. Зависимость от времени  $t'$  интенсивности  $K_1^0$ -компоненты оказывается различной для случаев  $m_2 > m_1$  и  $m_2 < m_1$ , где  $m_1$  и  $m_2$  — массы  $K_1^0$ - и  $K_2^0$ -мезонов. Действительно, амплитуда пучка нейтральных К-мезонов в точке рассеяния «2» (см. рис. 11) может быть записана как

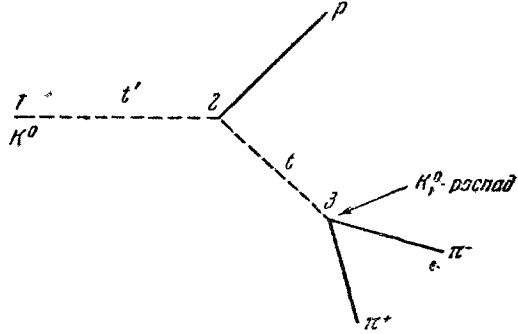


Рис. 11. Схема опыта, предложенного Камерини и др.<sup>16</sup> для определения знака разности масс  $K_1^0$ - и  $K_2^0$ -мезонов.

$$K(t') = \frac{1}{\sqrt{2}} \left[ \frac{K^0 + \bar{K}^0}{\sqrt{2}} e^{im_1 t' - \frac{t'}{2\tau_1}} + \frac{K^0 - \bar{K}^0}{\sqrt{2}} e^{im_2 t' - \frac{t'}{2\tau_2}} \right].$$

В процессе рассеяния в точке «2» амплитуда  $K(t')$  изменится следующим образом:

$$K(t') \rightarrow K(t')_{\text{расс}} = \frac{1}{2} [fK^0 (e^{im_1 t' - \frac{t'}{2\tau_1}} + e^{im_2 t' - \frac{t'}{2\tau_2}}) + \bar{f}\bar{K}^0 (e^{im_1 t' - \frac{t'}{2\tau_1}} - e^{im_2 t' - \frac{t'}{2\tau_2}})],$$

где  $f$  и  $\bar{f}$  — амплитуды рассеяния  $K^0$ - и  $\bar{K}^0$ -компонент соответственно. Отсюда легко может быть получена интенсивность  $I(K_1^0)$   $K_1^0$ -компоненты в точке распада «3»

$$I(K_1^0) = \frac{1}{8} e^{-\frac{t}{\tau_1}} \{ (|f|^2 + |\bar{f}|^2) (e^{-\frac{t'}{\tau_1}} + e^{-\frac{t'}{\tau_2}}) + 2 (|f|^2 - |\bar{f}|^2) e^{-\frac{\tau_1 + \tau_2}{2\tau_1 \tau_2} t'} \cos(\Delta m t') + 2 \operatorname{Re}(f\bar{f}^*) (e^{-\frac{t'}{\tau_1}} - e^{-\frac{t'}{\tau_2}}) + 4 \operatorname{Im}(f\bar{f}^*) e^{-\frac{\tau_1 + \tau_2}{2\tau_1 \tau_2} t'} \sin(m_2 - m_1)t' \}.$$

Выражение  $I(K_1^0)$  пропорционально  $\sin(m_2 - m_1)t'$ , т. е. различно для

случаев, когда  $\Delta m = m_2 - m_1 > 0$  или  $\Delta m < 0$ . Из выражения для  $I(K_1^0)$  вместе с тем видно, что для определения знака  $\Delta m$  необходимо

знать амплитуды  $f$  и  $\bar{f}$ , которые в настоящее время известны недостаточно хорошо. Интересно отметить, что  $I(K_1^0)$  зависит от времени  $t$  лишь экспоненциальным образом, осциллирующие же члены в выражении для  $I(K_1^0)$  являются функциями только времени  $t'$ . Снятая в пропановой

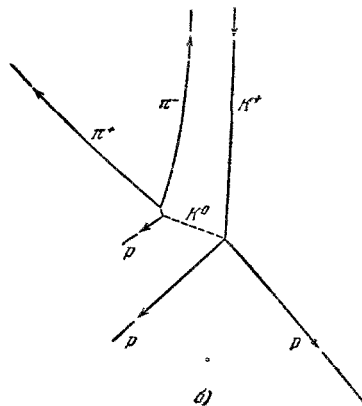
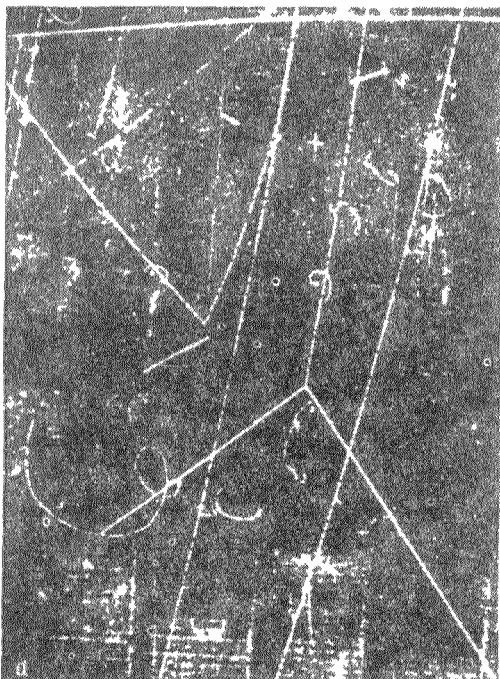


Рис. 12. а) Фотография, показывающая рассеяние  $K^0$ -мезона на протоне с последующим  $2\pi$ -распадом. Время между образованием  $K^0$ -мезона и его рассеянием составляет  $1,1 \cdot 10^{-10}$  сек (из 16); б) схема процесса, представленного рис. 12, а.

пузырьковой камере фотография события, когда  $K^0$ -мезон рассеивается на протоне и испытывает затем  $K \rightarrow 2\pi$ -распад, приведена на рис. 12.

## 6. ВОЛНОВЫЕ СВОЙСТВА СИСТЕМ НЕЙТРАЛЬНЫХ К-МЕЗОНОВ

Интересные особенности волновых свойств системы  $K^0\bar{K}^0$  рассмотрены В. И. Огиевским, Э. О. Оконовым, М. И. Подгорецким<sup>17</sup>. Пара  $K^0\bar{K}^0$  может рождаться, например, в реакции  $\pi^- + p \rightarrow K^0 + \bar{K}^0 + n$ . Система  $K^0\bar{K}^0$  обладает определенной странностью  $S = 0$ , а также определенным значением комбинированной четности  $CP = +1$ . Последнее следует из того, что при зарядовом сопряжении  $C$  система бозон — антибозон приобретает множитель  $(-1)^l$ ; такой же множитель возникает и в результате пространственного отражения  $P$ . Таким образом,  $CP$ -преобразование приводит к умножению волновой функции системы  $K^0\bar{K}^0$  на  $(-1)^{2l} = +1$ .

Распад системы  $K^0\bar{K}^0$  может происходить по схемам  $K_1^0 K_1^0$ ,  $K_2^0 K_2^0$  или  $K_1^0 K_2^0$ . Системы  $K_1^0 K_1^0$  и  $K_2^0 K_2^0$  в силу тождественности составляющих их частиц образуются всегда с четным значением орбитального момента  $l$ . Поэтому комбинированная четность таких пар всегда равна  $CP = +1$ . Система  $K_1^0 K_2^0$  может образовываться с любым значением  $l$ ,

поэтому ее комбинированная четность равна  $CP = (-1)^{l+1}$ . Отсюда следует весьма своеобразная ситуация, когда схема распада ( $K_1^0 K_1^0$ ,  $K_2^0 K_2^0$  или  $K_1^0 K_2^0$ ) является детектором четности орбитального момента системы  $K^0 \tilde{K}^0$ . Так, например, при рождении пары  $K^0 \tilde{K}^0$  вблизи порога, когда  $l = 0$ , распад может происходить только по схеме  $K_1^0 K_1^0$  или  $K_2^0 K_2^0$ , но не по схеме  $K_1^0 K_2^0$ . В цитируемой работе подробно изучено изменение со временем состава пучка двух нейтральных  $K$ -мезонов, представляющего вначале пару  $K^0 \tilde{K}^0$ . В таких пучках возникают характерные биения, период которых зависит не только от разности масс  $\Delta m$   $K_1^0$  и  $K_2^0$ -мезонов. Изучая такие биения, можно в принципе определить знак  $\Delta m$ . Более полное описание результатов, полученных в работе<sup>17</sup>, не приводится ввиду отсутствия соответствующих экспериментальных данных.

7. ЛЕПТОННЫЕ РАСПАДЫ НЕЙТРАЛЬНЫХ К-МЕЗОНОВ.  
ПРАВИЛО  $\Delta S = \Delta Q$

Лептонные распады нейтральных  $K$ -мезонов

$$K \begin{cases} \rightarrow \pi^\pm + e^\mp + \nu, & (28a) \\ \rightarrow \pi^\pm + \mu^\mp + \nu & (28b) \end{cases}$$

приводят к возможности наблюдения специфических интерференционных эффектов. Обозначим амплитуды лептонных распадов  $K^0$ -мезонов \*) так:

$$\langle K^0 / \pi^- e^+ \nu \rangle = a, \quad \langle K^0 / \pi^+ e^- \nu \rangle = b.$$

Тогда амплитуды зарядово-сопряженных процессов распада  $\tilde{K}^0$ -мезонов запишутся в виде

$$\langle \tilde{K}^0 / \pi^+ e^- \nu \rangle = a^*, \quad \langle \tilde{K}^0 / \pi^- e^+ \nu \rangle = b^*,$$

где  $a^*$  и  $b^*$  — комплексно-сопряженные величины  $a$  и  $b$ . Если считать, как это принято, что в распадах  $K$ -мезонов сохраняется комбинированная четность  $CP$ , то амплитуды  $a$  и  $b$  должны быть действительны. Действительность амплитуд  $a$  и  $b$ , а также соотношения (4) приводят к следующим выражениям для амплитуд лептонных распадов  $K_1^0$ - и  $K_2^0$ -мезонов:

$$\left. \begin{aligned} \langle K_1^0 / \pi^+ e^- \nu \rangle = \langle K_1^0 / \pi^- e^+ \nu \rangle &= \frac{1}{\sqrt{2}}(a + b), \\ \langle K_2^0 / \pi^+ e^- \nu \rangle = -\langle K_2^0 / \pi^- e^+ \nu \rangle &= \frac{1}{\sqrt{2}}(b - a). \end{aligned} \right\} \quad (29)$$

Рассмотрим теперь вероятности  $W$  процессов распада  $K \rightarrow \pi^+ + e^- + \nu$  и  $K \rightarrow \pi^- + e^+ + \nu$  в пучке нейтральных  $K$ -мезонов, первоначально (при  $t = 0$ ) представляющем собой чистое  $K^0$ -состояние:

$$K^0 = \frac{1}{\sqrt{2}}(K_1^0 + K_2^0).$$

\*) Мы рассматриваем для определенности «электронные» распады нейтральных  $K$ -мезонов. Все сказанное ниже, за исключением абсолютной величины амплитуд  $a$  и  $b$ , относится также и к «μ-мезонным» распадам  $K \rightarrow \pi^\pm + \mu^\mp + \nu$ .

Из соотношений (4) и (29) тогда следует, что

$$\left. \begin{aligned} W(\pi^+ + e^- + \nu) &= \frac{1}{4} \left| (a+b) e^{-iE_1 t - \frac{t}{2\gamma\tau_1}} + (b-a) e^{-iE_2 t - \frac{t}{2\gamma\tau_2}} \right|^2 = \\ &= \frac{1}{4} \left\{ (a+b)^2 e^{-\frac{t}{\gamma\tau_1}} + (a-b)^2 e^{-\frac{t}{\gamma\tau_2}} + 2(b^2 - a^2) e^{\frac{\tau_1 + \tau_2}{2\tau_1\tau_2\gamma} t} \cos(\delta t) \right\}, \\ W(\pi^- + e^+ + \nu) &= \\ &= \frac{1}{4} \left\{ (a+b)^2 e^{-\frac{t}{\gamma\tau_1}} + (a-b)^2 e^{-\frac{t}{\gamma\tau_2}} - 2(b^2 - a^2) e^{\frac{\tau_1 + \tau_2}{2\tau_1\tau_2\gamma} t} \cos(\delta t) \right\}, \\ \delta = E_1 - E_2 &\approx \frac{m\Delta m}{E}. \end{aligned} \right\} \quad (30)$$

Из (30) видно, что в выражениях для  $W(\pi^+ + e^- + \nu)$  и  $W(\pi^- + e^+ + \nu)$ , кроме экспоненциально убывающих членов, имеются также осциллирующие члены, зависящие от  $\Delta m$ .

Соотношения (30) могут быть использованы для экспериментального определения отношения  $b/a$  (при известном значении  $\Delta m$ ). Теория (модель Сакаты слабых взаимодействий) предсказывает  $b = 0$ . Равенство  $b = 0$  вытекает из применения к процессам

$$K^0 \rightarrow \pi^+ + e^- + \nu \quad \text{и} \quad \bar{K}^0 \rightarrow \pi^- + e^+ + \nu$$

правила  $\Delta S = \Delta Q$  \*), которое следует из отсутствия в модели Сакаты переходов с  $\Delta T_3 = 3/2$  для сильновзаимодействующих частиц. Правило  $\Delta S = \Delta Q$ , т. е.  $b = 0$ , приводит, как это видно из (30), к равенству  $W(\pi^+ + e^- + \nu) = 0$  при  $t = 0$ , т. е. когда имеется чистое  $K^0$ -состояние. Далее с увеличением «возраста»  $K$ -мезонов вероятность распада  $K \rightarrow \pi^+ + e^- + \nu$  будет изменяться в соответствии со значением  $\Delta m$ . Равенство нулю амплитуды  $b$  приводит также к тому, что вероятности  $\Gamma(L)$  лептонных распадов  $K_1^0$ - и  $K_2^0$ -мезонов совпадают:  $\Gamma_1(L^\pm) = \Gamma_2(L^\pm)$ . Это видно из соотношений (29), откуда непосредственно следует, что

$$\Gamma_1(L^\pm) = \frac{1}{2} |a+b|^2, \quad \Gamma_2(L^\pm) = \frac{1}{2} |a-b|^2.$$

Предположение о равенстве  $\Gamma_1(L) = \Gamma_2(L)$  было использовано Крауффордом и др. <sup>7</sup> при определении величины  $\tau_2$  (см. раздел 2). Однако, как уже указывалось в разделе 2, в ряде экспериментов <sup>5, 8</sup> были получены указания на неприменимость модели Сакаты к распадам  $K$ -мезонов; было обнаружено, что  $\Gamma_1(L) \neq \Gamma_2(L)$ , т. е. амплитуда  $b \neq 0$ . Дальнейшее уточнение полученных результатов имеет очень большое значение для построения теории слабых взаимодействий. Рассмотрим несколько более подробно эти опыты. В работе <sup>8</sup> сепарированный пучок  $K^+$ -мезонов пропущался через 75-см пропановую пузырьковую камеру, где наблюдались «V-вилки» от лептонных (28а) распадов нейтральных  $K$ -мезонов, образованных в реакции перезарядки  $K^+ + n \rightarrow K^0 + p$ . Таким образом, начальным состоянием (при  $t = 0$ ) в этом опыте была чистая  $K^0$ -волна, и вероятности наблюдаемых лептонных распадов  $K \rightarrow \pi^+ + e^- + \nu$  и  $K \rightarrow \pi^- + e^+ + \nu$  должны описываться соотношениями (30). Используя найденное в других экспериментах <sup>10, 11, 13</sup> значение  $\Delta m$ , авторы пришли к выводу, что полученные ими распределения во времени

\*) Правило  $\Delta S = \Delta Q$  означает, что в процессах, вызываемых слабыми взаимодействиями, изменение странности сильновзаимодействующих частиц равно изменению их заряда.

$W_{\text{экср}}(\pi^+ + e^- + \nu)$  и  $W_{\text{экср}}(\pi^- + e^+ + \nu)$  (см. (30)) согласуются со значением величин

$$\frac{b}{a} = 0,55_{-0,12}^{+0,08} \text{ и } \frac{\Gamma_1(L)}{\Gamma_2(L)} = 12_{-6}^{+8}.$$

Лептонные распады нейтральных  $K$ -мезонов изучались также Александром и др.<sup>5</sup> в 180-см водородной пузырьковой камере. Полученное ими отношение  $\Gamma_1(L^\pm)/\Gamma_2(L^\pm) = 6,6_{-4}^{+8}$  соответствует

$$\frac{b}{a} \text{ или } \frac{a}{b} = 0,44_{-0,20}^{+0,12}.$$

Малое количество наблюдаемых случаев не позволило отдать предпочтение какой-либо одной из этих двух возможностей; значение

$$\frac{b}{a} = 0,44_{-0,20}^{+0,12}$$

находится в хорошем согласии с результатом Флая и др.<sup>8</sup>

$$\frac{b}{a} = 0,55_{-0,12}^{+0,08}.$$

Отличие от нуля амплитуды  $b$  означает, что взаимодействие, приводящее к лептонным распадам  $K$ -мезонов, допускает переходы с  $\Delta T_3 = 3/2$ , несовместимые с моделью Сакаты слабого взаимодействия. Приведенные выше эксперименты<sup>5, 8</sup>, указывающие на нарушение правила  $\Delta S = \Delta Q$ , существенно осложняют наши представления о слабых взаимодействиях, которые до сих пор так хорошо укладывались в рамки модели Сакаты. В этой связи приобретает особенно большой интерес дальнейшее подтверждение и уточнение полученных в работах<sup>5, 8</sup> экспериментальных результатов.

## 8. ИЗОТОПИЧЕСКИЕ СВОЙСТВА НЕЙТРАЛЬНЫХ К-МЕЗОНОВ

$K^0$ -мезон образует изотопический дублет с  $K^+$ -мезоном,  $\bar{K}^0$ -мезон — изотопический дублет с  $K^-$ -мезоном. Таким образом, изотопический спин  $K$ -мезона равен  $T_K = 1/2$ . При распаде странных частиц изотопический спин не сохраняется; из теории (модель Сакаты слабых взаимодействий) следуют только вполне определенные правила изменения изотопического спина при  $\pi$ -мезонных распадах  $K$ -мезонов:  $\Delta T = 1/2, 3/2$ . Однако из совокупности опытных данных по распаду странных частиц можно утверждать, что амплитуда переходов с  $\Delta T = 3/2$  существенно меньше амплитуды переходов с  $\Delta T = 1/2$ . Рассмотрим, какие следствия вытекают из применения правила  $\Delta T = 1/2$  к распадам нейтральных  $K$ -мезонов. Прежде всего следует обратить внимание на существенное различие времен жизни заряженных и нейтральных  $K$ -мезонов при распаде на  $2\pi$ :

$$\begin{aligned} \tau(K_1^0 \rightarrow 2\pi) &= 1 \cdot 10^{-10} \text{ сек,} \\ \tau(K^+ \rightarrow 2\pi) &= 5 \cdot 10^{-8} \text{ сек,} \end{aligned}$$

что находится в превосходном согласии с правилом  $\Delta T = 1/2$ . Действительно,  $\pi$ -мезоны распада  $K^+ \rightarrow \pi^+ + \pi^0$  могут находиться только в состоянии с  $T = 2$ . Легко проверить, что состояния с  $T = 0, 1$  запрещены. Так как изотопический спин  $K$ -мезона  $T_K = 1/2$ , эта реакция может идти только с  $\Delta T = 3/2$ . Распад же  $K_1^0 \rightarrow 2\pi$  может происходить с  $\Delta T = 1/2$ , что и обеспечивает в 500 раз большую вероятность этого процесса. Применяя правило  $\Delta T = 1/2$  для процессов  $K_1^0 \rightarrow \pi^+ + \pi^-$

и  $K_1^0 \rightarrow 2\pi^0$ , можно вычислить их относительную вероятность

$$R = \frac{\Gamma(K_1^0 \rightarrow \pi^+ + \pi^-)}{\Gamma(K_1^0 \rightarrow \pi^+ + \pi^-) + \Gamma(K_1^0 \rightarrow 2\pi^0)} = \frac{1}{3}.$$

На опыте величина  $R$  оказалась равной  $R_{\text{вкл}} = 0,30 \pm 0,05$ . Применяя правило  $\Delta T = 1/2$  к  $3\pi$ -мезонным распадам  $K^{*+}$ - и  $K^0$ -мезонов и используя принцип изотопической инвариантности, получим

$$\begin{aligned} \Gamma(K_2^0 \rightarrow 3\pi^0) : \Gamma(K_2^0 \rightarrow \pi^+ + \pi^- + \pi^0) &= 2, \\ \Gamma(K_2^0 \rightarrow 3\pi) : \Gamma(K^* \rightarrow 3\pi) &= 1,2. \end{aligned}$$

При нахождении этих соотношений учтена также разность масс  $\pi^\pm$ - и  $\pi^0$ -мезонов, что приводит к некоторому изменению соответствующих фазовых объемов. Использование правила  $\Delta T = 1/2$  позволяет из известных в эксперименте времен жизни  $K^*$ -мезонов по отношению к различным ветвям распада предсказать вероятности различных ветвей распада  $K_2^0$ -мезона:

$$\begin{aligned} K_2^0 \rightarrow 3\pi_0, & \quad \Gamma = 4,6 \cdot 10^6 \text{ сек}^{-1}, \\ K_2^0 \rightarrow \pi^+ + \pi^- + \pi^0, & \quad \Gamma = 2,3 \cdot 10^6 \text{ сек}^{-1}, \\ K_2^0 \rightarrow e^+ + \nu + \pi^-, & \quad \Gamma = 3,4 \cdot 10^6 \text{ сек}^{-1}, \\ K_2^0 \rightarrow e^- + \tilde{\nu} + \pi^+, & \quad \Gamma = 3,4 \cdot 10^6 \text{ сек}^{-1}, \\ K_2^0 \rightarrow \mu^+ + \nu + \pi^-, & \quad \Gamma = 3,3 \cdot 10^6 \text{ сек}^{-1}, \\ K_2^0 \rightarrow \mu^- + \tilde{\nu} + \pi^+, & \quad \Gamma = 3,3 \cdot 10^6 \text{ сек}^{-1}. \end{aligned}$$

Полученная отсюда полная вероятность распада  $K_2^0$ -мезона равна  $\Gamma(K_2^0) = 20,3 \cdot 10^6 \text{ сек}^{-1}$ , что соответствует времени жизни  $\tau(K_2^0) = 5 \cdot 10^{-8} \text{ сек}$ . Это значение  $\tau(K_2^0)$  близко к найденному экспериментально. Предсказанное (при  $\Delta T = 1/2$ ) отношение

$$\frac{\Gamma_2(\pi^+ + \pi^- + \pi^0)}{\Gamma_2(L^\pm)} = \frac{2,3 \cdot 10^6}{13,4 \cdot 10^6} = 0,17$$

также хорошо согласуется с экспериментальной величиной<sup>3</sup>

$$\frac{\Gamma_2(\pi^+ + \pi^- + \pi^0)}{\Gamma_2(L^\pm)} = 0,16 \pm 0,02.$$

Вероятности лептонных распадов  $K_2^0$ -мезонов измерялись в ряде работ<sup>5, 7, 18</sup>. Полученные результаты приведены в табл. II.

Таблица II  
Экспериментальные вероятности  $\Gamma_2(L)$  лептонных распадов  $K_2^0$  мезонов

Распад	Вероятность $\Gamma_2, \text{сек}^{-1}$	Литература
$K_2^0 \rightarrow \begin{cases} e^\pm + \pi^\mp + \nu \\ \mu^\pm + \pi^\mp + \nu \end{cases}$	$(9,3 \pm 2,5) \cdot 10^6$	5
	$(20,4 \pm 7,2) \cdot 10^6$	7
$K_2^0 \rightarrow e^\pm + \pi^\mp + \nu$	$(6,2 \pm 2,0) \cdot 10^6$	18
$K_2^0 \rightarrow \mu^\pm + \pi^\mp + \nu$	$(5,6 \pm 3,0) \cdot 10^6$	18

В работах<sup>5, 18</sup> лептонные распады нейтральных  $K$ -мезонов изучались на достаточно большом расстоянии от места их рождения, т. е. экспери-

ментально выделялось чистое  $K_2^0$ -состояние. В опыте Крауфорда и др. <sup>7</sup> невозможно было экспериментально разделить  $K_1^0$ - и  $K_2^0$ -распады (см. также раздел 2); приведенная в табл. II величина  $\Gamma_2$  получена в этой работе в предположении, что  $\Gamma_1(L^\pm) = \Gamma_2(L^\pm)$ . Из сравнения данных табл. II с предсказаниями теории Сакаги слабых взаимодействий следует, что в пределах экспериментальных ошибок эти результаты не противоречат теории. Вместе с тем проблема дальнейшего уточнения вероятностей различных ветвей распада  $K$ -мезона приобретает сейчас очень большое значение в связи с описанными в разделе 7 экспериментальными указаниями на нарушение модели Сакаги в распадах нейтральных  $K$ -мезонов.

Обсуждение различных вопросов, посвященных нейтральным  $K$ -мезонам, читатель найдет также в работах <sup>19-21</sup>.

ЦИТИРОВАННАЯ ЛИТЕРАТУРА

1. A. Pais, M. Gell-Mann, Phys. Rev. 97, 1387 (1955).
2. A. Pais, O. Piccioni, Phys. Rev. 100, 1487 (1955).
3. D. Luers, J. S. Mitra, W. J. Willis, S. S. Yamamoto, Phys. Rev. Letts. 7, 255 (1961).
4. W. H. Barkas, A. Rosenfeld, в сб. Proceedings of the 1960 Annual International Conference on High Energy Physics at Rochester, N. Y., стр. 877.
5. G. Alexander, S. P. Almeida, F. S. Crawford, Phys. Rev. Letts. 9, 69 (1962).
6. M. Bardoni, K. Lande, L. M. Lederman, W. Chinowsky, Ann. Phys. (New York) 5, 156 (1958).
7. F. S. Crawford, M. Cresti, R. L. Douglass, M. L. Good, G. R. Kalbfleisch, M. L. Stevenson, H. K. Ticho, Phys. Rev. Letts. 2, 361 (1959).
8. R. P. Fly, W. M. Powell, H. White, M. Baldo-Ceolin, E. Calimani, S. Campalilo, O. Fabbri, F. Farini, C. Filippi, H. Huzita, G. Miari, U. Camerini, W. Fry, S. Natali, Phys. Rev. Letts. 8<sup>4</sup> 432 (1962).
9. R. W. Birge, R. P. Fly, W. M. Powell, H. Huzita, W. F. Fry, J. A. Gaides, S. V. Natali, R. B. Willman, U. Camerini, см. <sup>4</sup>, стр. 601.
10. U. Camerini, W. F. Fry, J. A. Gaides, H. Huzita, S. V. Natali, R. B. Willman, R. W. Birge, R. P. Fly, W. M. Powell, H. S. White, Phys. Rev. 128, 362 (1962).
11. V. L. Fitch, P. A. Pironé, R. B. Perkins, Nuovo cimento 22, 1160 (1961).
12. M. L. Good, Phys. Rev. 110, 550 (1958).
13. R. H. Good, R. P. Matsen, F. Müller, O. Piccioni, W. M. Powell, H. S. White, W. B. Fowler, R. W. Birge, Phys. Rev. 124, 1223 (1961).
14. M. Lax, Rev. Mod. Phys. 23, 287 (1951).
15. И. Ю. Робзарев, Л. Б. Окунь, ЖЭТФ 39, 605 (1960).
16. U. Camerini, W. F. Fry, J. Gaides, Nuovo cimento 28, 1096 (1963).
17. В. И. Огневский, Э. О. Оконов, М. И. Подгорецкий, ЖЭТФ 43, 720 (1962).
18. Д. В. Нягу, Э. О. Оконов, Н. И. Петров, А. М. Розанова, В. А. Русаков, ЖЭТФ 40, 1618 (1961).
19. L. M. Lederman, Rendiconti della Scuola internazionale di fisica «Enrico Fermi», Bologna, 1960, стр. 365.
20. И. Ю. Робзарев, С. Г. Матинян, в сб. «Вопросы теории сильных и слабых взаимодействий», Ереван, Изд-во АН Арм. ССР, 1962, стр. 175, 186.
21. R. H. Dalitz, Strong Interaction Physics and the Strange Particles, Bombay, 1961 (препринт).

